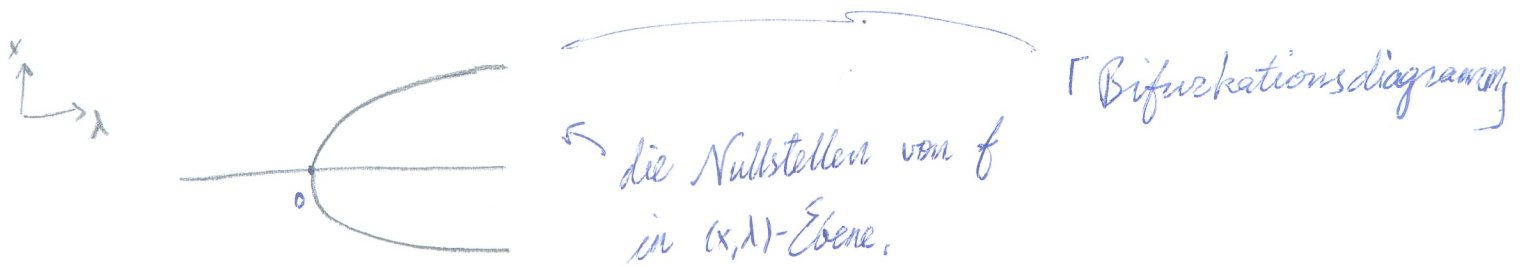


### 3.2.1 Die Pitchfork-Bifurkation

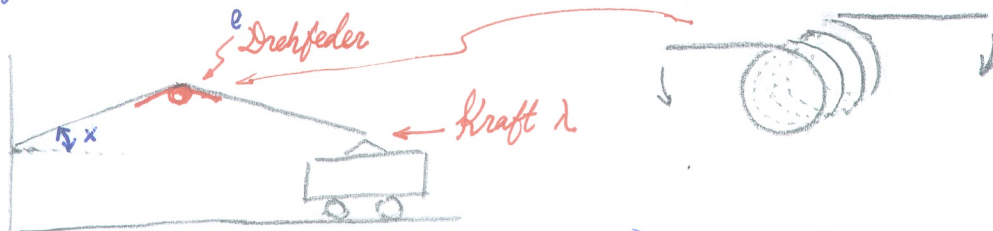
Es sei  $f(x, \lambda) = x^3 - \lambda x$ ,  $x, \lambda \in \mathbb{R}$ . (\*p)



$n(\lambda) = \#$  Nullstellen von  $f$ , für  $\lambda$ .  $1 \xrightarrow{\lambda < 0} 3$   
 $\lambda < 0$   $\lambda > 0$

#### (a) Ein Beispiel der Pitchfork-Bifurkation

Betrachte ein System das aus 2 Stäben besteht, die miteinander durch eine Nadel verbunden sind.



das Potenzial:  $V(x, \lambda) = \frac{x^2}{2} + 2\lambda(\cos x - 1)$  (\*D)  
↑ ↑  
von Drehfeder von lambda

die Gleichgewichte:  $g(x, \lambda) = \frac{\partial V}{\partial x}(x, \lambda) = x - 2\lambda \sin x$

(Hag)  $(x_0, \lambda_0) = (0, \frac{1}{2})$  ist ein Gleichgewicht und

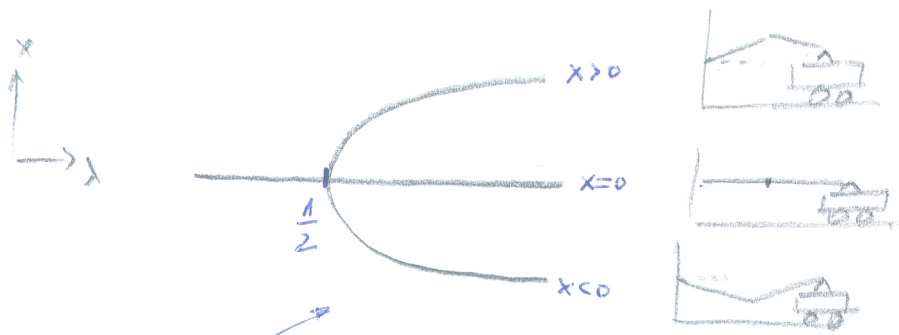
$g(x, \lambda) = \frac{x^3}{6} - 2(\lambda - \frac{1}{2})x + \text{h.o.t.}$   $x^5, (\lambda - \frac{1}{2})^2 x, \dots$  höher

lineare Koordinatentransf.  $\Rightarrow$   
 $\lambda \rightsquigarrow a(\lambda - \frac{1}{2})$   
 $x \rightsquigarrow bx$

$g(x, \lambda) = x^3 - \lambda x + \text{h.o.t.}$

$\left\{ \dots \text{ (vgl. (b))} \right.$

$f(x, \lambda) = x^3 - \lambda x$



das Bifurkationsdiagramm für  $(x_D)$

## (b) Endliche Bestimmtheit und Normalform

? Wie wichtig ist das „h.o.t.“

? Inwiefern bestimmt, das  $n$ -te Taylorpolynom für kleines  $n$ , das qualitative Verhalten von  $g(x, \lambda) = 0$ , unabhängig vom Restglied.

Für die Pitchfork-Bifurkation haben wir:

Satz 3.1.9 Es sei  $(x_0, \lambda_0)$  ein Bifurkationspunkt für  $g(x, \lambda) = 0$  sodass  $g = g_x = g_{xx} = g_\lambda = 0$ ,  $g_{xxx} g_{\lambda x} < 0$  (alle bewertet um  $(x_0, \lambda_0)$ )

Dann ist der Fluss von  $g$  äquivalent zu  $f$  von  $(x_p)$ . § Def.

D.h. es gibt

(i) einen lokalen Diffeomorphismus von  $\mathbb{R}^2$  der Form

$(x, \lambda) \mapsto (X(x, \lambda), \Lambda(\lambda))$  der  $(0, 0)$  in  $(x_0, \lambda_0)$  abbildet;

(ii) eine Abbildung  $S(x, \lambda) > 0$

sodass  $S(x, \lambda) g(X(x, \lambda), \Lambda(\lambda)) = x^3 - \lambda x = f(x, \lambda)$

in einer Umgebung von  $(0, 0)$ . Weiter gilt  $X_x(x, \lambda) > 0$ ,  $\Lambda'(\lambda) > 0$ .

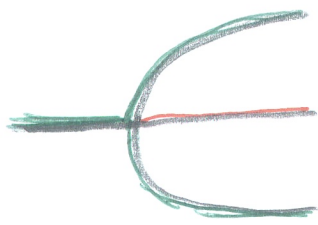
Insbesondere ist  $n_g(\Lambda(\lambda)) = n_f(\lambda)$  wie zeigen ...

" $x^3 - \lambda x = 0$ " wird als die Normalform der Pitchfork-Bifurkation  
(supkritischen) benannt.

Bemerkung 3.1.10 Im Satz 3.1.9 ist  $g$

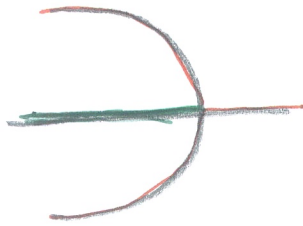
äquivalent zu " $-x^3 - \lambda x$ " falls  $g_{xxx} g_{\lambda x} > 0$  ist.

" $-x^3 - \lambda x = 0$ " wird als die Normalform der subkritischen Pitchfork-Bifurkation benannt.



$$x^3 - \lambda x = 0$$

"supkrit. Pitchfork-Bif."



$$-x^3 - \lambda x = 0$$

"subkrit. Pitchfork-Bif."

— stabil  
— instabil

Wir zeigen unter der Voraussetzung von Satz 3.1.9 für  $(x_0, \lambda_0) = (0, 0)$ ,  
 $\exists$  glatte Abb.n.  $M(x, \lambda)$ ,  $\psi(\lambda)$  und  $\varphi(x)$  definiert um  $(0, 0)$  s.d.

$$g(x, \lambda) = (1 - \varphi(x)x^2)(x - \psi(\lambda)) \cdot M(x, \lambda),$$

wobei  $\varphi(0) > 0$ ,  $\psi(0) = 0$  und  $M(0, 0) \neq 0$  ist.

**Hag** Es folgt dann, dass  $n_g(\lambda) = \begin{cases} 3 & \text{für } \lambda > 0 \\ 1 & \text{für } \lambda \leq 0 \end{cases}$ , d.h.  $n_g(\lambda) = n_f(\lambda)$ .

Bw:

$$g = g_x = g_{xx} = g_{\lambda} = 0, \quad g_{xxx} g_{\lambda x} < 0$$

Let  $S(x) = g(x, \mu x)$

(a)

•  $S(0) = 0$

$$S(0) = g(0, 0) = 0 \quad \checkmark$$

•  $S'(0) = 0$

$$S'(x) = g_x \cdot 1 + g_{\lambda} \cdot \mu = 0 \cdot 1 + 0 \cdot \mu = 0 \quad \checkmark$$

•  $S(x) = x^2 K(x, \mu)$

$$S(x) = S(0) + S'(0)x + \frac{S''(0)}{2}x^2 + \frac{S'''(0)}{6}x^3 + \dots$$

$$= 0 + 0 \cdot x + \frac{S''(0)}{2}x^2 + \dots$$

$$= x^2 \left( \frac{S''(0)}{2} + \frac{S'''(0)}{6}x + \dots \right) = K(x, \mu)$$

vergleichen

(b) •  $K(0, 0) = 0$

~~$K(0, 0) = \frac{S''(0)}{2}$~~

~~$S''(x) = g_{xx} + g_{\lambda x} \mu \Rightarrow S''(0) = 0 + g_{\lambda x}(0) \mu$~~

$$K(x, \mu) = \frac{K(0, 0)}{2} + \frac{K_x(0, 0)}{2}x + \frac{K_{\mu}(0, 0)}{2}\mu + \frac{K_{xx}(0, 0)}{2}x^2 + \frac{K_{x\mu}(0, 0)}{2}x\mu + \frac{K_{\mu\mu}(0, 0)}{2}\mu^2 + \dots$$

$$\left\{ \frac{S''(0)}{2} = \frac{0}{2} + \frac{g_{\lambda x}(0)}{2}\mu \right.$$

$$\frac{S''(0)}{6}x = \frac{g_{xxx}(0) + g_{\lambda xx}(0)\mu}{6}x$$

$$(S'''(x) = g_{xxx} + g_{\lambda xx}\mu)$$

$\Rightarrow K(0, 0) = 0,$

•  $K_{\mu}(0, 0) = \frac{g_{\lambda x}(0)}{2}$

•  $K_x(0, 0) = \frac{g_{xxx}(0)}{6}$



$$K(0,0)=0, \quad K_{\mu}(0,0) = \frac{g_{\lambda\lambda}(0)}{2}, \quad K_x(0,0) = \frac{g_{\lambda x}(0)}{6}$$

$$g_{\lambda\lambda}(0) g_{\lambda x}(0) < 0$$

I.F.T.  $\Rightarrow \exists \mu = \mu(x)$  s.t.  $K(x, \mu(x)) = 0$ ,  $\mu(0) = 0$ ,

also  $K_x(0,0) + K_{\mu}(0,0) \mu'(0) = 0 \Rightarrow \mu'(0) = - \frac{K_x(0,0)}{K_{\mu}(0,0)} > 0$ .

(c)  $\mu(x) = x \phi(x)$ , wh.  $\phi(0) > 0$ .

$$\begin{aligned} \mu(0) = 0, \quad \mu'(0) > 0 &\Rightarrow \mu(x) = \underbrace{\mu(0)}_0 + \underbrace{\mu'(0)}_{>0} x + \dots = \underbrace{\mu'(0)}_{>0} x + \dots \\ &= x \left( \mu'(0) + \frac{\mu''(0)}{2} x + \dots \right) \\ &= x \phi(x) \\ \phi(0) = \mu'(0) > 0. \end{aligned}$$

$g(x, x^2 \phi(x)) = 0$

$S(x) = g(x, \mu(x)) \stackrel{=0}{=} g(x, x^2 \phi(x)) = 0$

~~$g(x, \mu(x)) = g(x, x^2 \phi(x))$~~

~~Taylor  $g(x, \lambda) = g(0,0) + g_x(0,0)x + g_{\lambda}(0,0)\lambda$~~

~~$+ \frac{g_{xx}(0,0)}{2} x^2 + \frac{g_{\lambda x}(0,0)}{2} x \lambda + \frac{g_{\lambda\lambda}(0,0)}{2} \lambda^2 + \dots$~~

~~$g(x, x^2 \phi(x)) = \frac{g_{\lambda x}(0,0)}{2} x^3 \phi(x) + \frac{g_{\lambda\lambda}(0,0)}{2} x^4 \phi(x)^2 + \dots = 0$~~

~~$\Rightarrow \frac{g_{\lambda x}(0,0)}{2} \phi(x) + \frac{g_{\lambda\lambda}(0,0)}{2} x \phi(x) + \dots = 0$~~

$g(x, \lambda_0) = 0$  Taylor  $\Rightarrow g(x, \lambda) = (1 - \lambda_0) L(x, \lambda)$ .

$g(x, \lambda) = g(0, \lambda_0) + g_x \cdot x + g_{\lambda} \cdot (1 - \lambda_0) + \left( \frac{g_{xx}}{2} \right) x^2 + \frac{g_{\lambda x}}{2} (1 - \lambda_0) \cdot x + \dots$

$$\Rightarrow \mathcal{G}(x, \lambda) = (1 - x^2 \phi(x)) L(x, \lambda)$$

(d) •  $L(0,0) = 0$ .  $L_x(0,0) \neq 0$

$$\begin{aligned} \mathcal{G}(x, \lambda) &= \cancel{\mathcal{G}(0,0)} + \cancel{\mathcal{G}_x(0,0)} x + \cancel{\mathcal{G}_\lambda(0,0)} \lambda + \cancel{\frac{\mathcal{G}_{xx}(0,0)}{2}} x^2 + \frac{\mathcal{G}_{\lambda x}(0,0)}{2} \lambda x + \frac{\mathcal{G}_{\lambda\lambda}(0,0)}{2} \lambda^2 + \dots \\ &= (1 - x^2 \phi(x)) (L(0,0) + L_x(0,0) x + L_\lambda(0,0) \lambda + \dots) \\ &= L(0,0) \lambda + \underline{L_x(0,0) \lambda x} - L(0,0) \phi(x) x^2 - L_x(0,0) \phi(x) x^3 + \dots \\ &\quad + \underline{L_{\lambda\lambda}(0,0) \lambda^2} + \dots - L_{\lambda(0,0)} \phi(x) \lambda x^2 + \dots \end{aligned}$$

$$\Rightarrow L(0,0) = 0, \quad L_x(0,0) = \frac{\mathcal{G}_{\lambda x}(0,0)}{2} \neq 0.$$

I.F.T.  
 $\Rightarrow \exists \psi(\lambda)$  s.t.  $L(\psi(\lambda), \lambda) = 0, \quad \psi(0) = 0.$

$$\Rightarrow \mathcal{G}(x, \lambda) = (1 - x^2 \phi(x)) \cdot (x - \psi(\lambda)) M(x, \lambda).$$

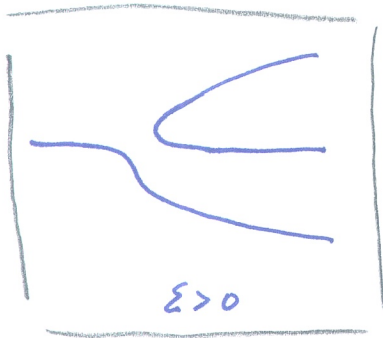
#

# (c) Universal-Entfaltung und Verstörte Bifurkation

Betrachte

$$G(x, \lambda, \varepsilon) = x^3 - \lambda x + \varepsilon = 0, \quad \varepsilon \in \mathbb{R}, \quad x, \lambda \in \mathbb{R}$$

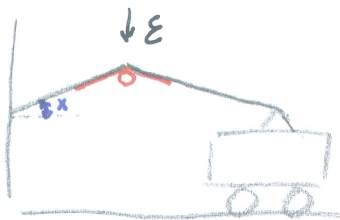
ein „verstörte“ Pitchfork-Bifurkationsproblem.



Das Bifurkationsdiagramm ändert sich dramatisch ob  $\varepsilon \stackrel{>}{<} 0$ .

- \* In der Anwendung ist es häufig gewünscht alle möglichen „verstörten“ Bifurkationsprobleme von dem ursprünglichen zu betrachten und zu klassifizieren. Ein Beispiel davon ist:

Beispiel 3.1.11 (der Wagen mit Drehfeder wieder besucht)



Imperfektion:

- (a) die Drehfeder ist leicht unsymmetrisch; (δ)
- (b) der Stab wiegt. (ε)

Potenzial:  $V(x, \lambda, \varepsilon, \delta) = \frac{(x-\delta)^2}{2} + 2\lambda(\cos x - 1) + \varepsilon \sin x$

Gleichgewicht:  $\frac{\partial V}{\partial x} = x - \delta - 2\lambda \sin x + \varepsilon \cos x = 0$ .

$$g(x, \lambda) = \frac{x^3}{6} - 2\left(\lambda - \frac{\delta}{2}\right)x + (\varepsilon - \delta) + \frac{\varepsilon}{2}x^2 + \text{h.o.t.}$$

ein „verstörtes“ Pitchfork-Bp.  
mit Parametern  $\delta, \varepsilon$ .

die Freistelle  
vom Drehfeder.

Def 3.1.12 Es sei  $g(x, \lambda) = 0$  ein Bifurkationsproblem. Eine  $k$ -parametrisierte Familie  $G(x, \lambda, \alpha_1, \dots, \alpha_k) = 0$  von Bifurkationsproblem; für  $\alpha_1, \dots, \alpha_k \in \mathbb{R}$ , heißt eine Störung von  $g$ , falls

$$G(x, \lambda, 0, \dots, 0) = g(x, \lambda).$$

Eine Störung  $G$  von  $g$  heißt eine Entfaltung von  $g$ , falls

$$\forall \varepsilon \text{ klein} \quad \forall P = P(x, \lambda, \varepsilon) \quad \exists \underbrace{\alpha_1, \dots, \alpha_k \in \mathbb{R}}_{\text{!} \alpha \text{ abhängig von } \varepsilon} \text{ s.d. } g + \varepsilon P \stackrel{\text{equiv.}}{\sim} G(\cdot, \alpha(\varepsilon))$$

Eine Entfaltung  $G$  ist eine Universal-Entfaltung, wenn  $G$  wenigste Parameter benötigt.

Im Fall von Pitchfork, ist

$$G(x, \lambda, \alpha) = x^3 - \lambda x + \alpha_1 + \alpha_2 x^2, \quad \alpha_1, \alpha_2 \in \mathbb{R}$$

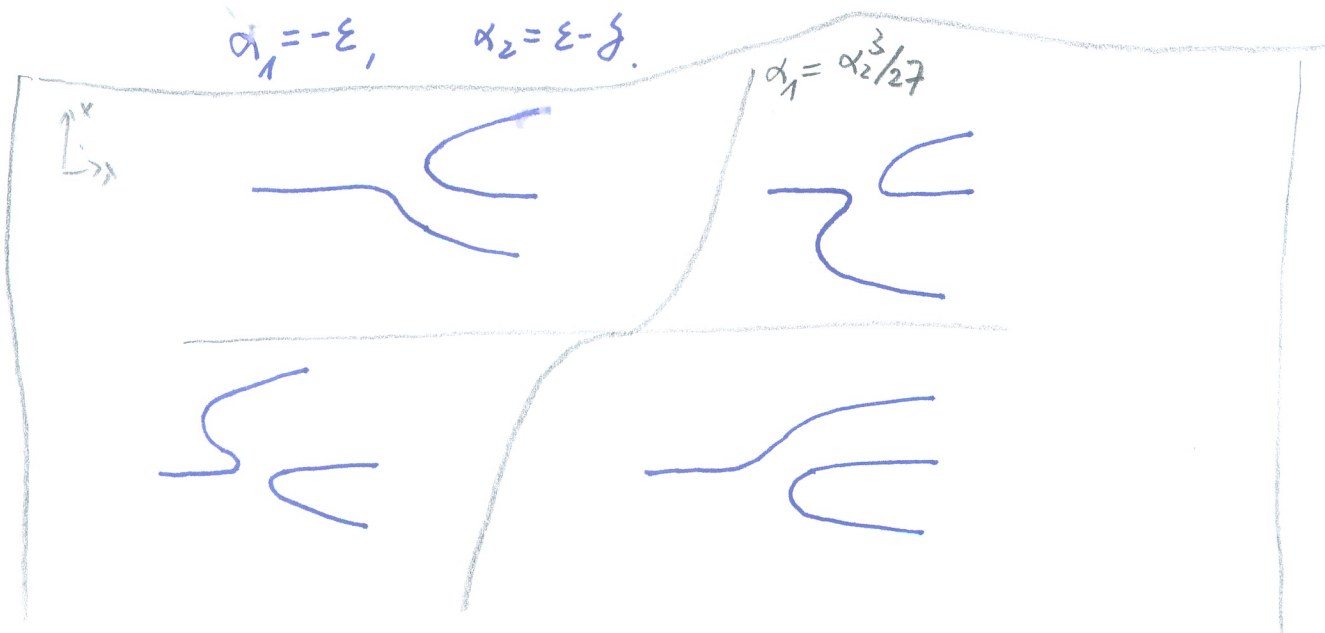
eine Universal-Entfaltung für  $f(x, \lambda) = x^3 - \lambda x$ . Für den Model

betrachtet in Beispiel 3.1.11, ist  $g(x, \lambda)$  äquivalent zu  $G$  für

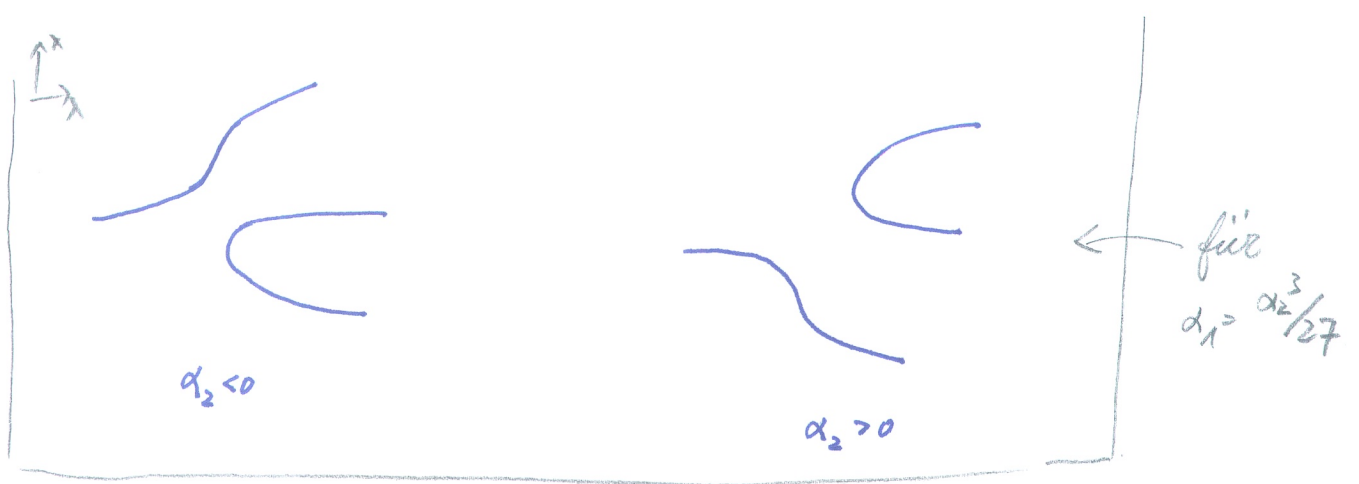
$$\alpha_1 = -\varepsilon, \quad \alpha_2 = \varepsilon - \delta.$$

$$\alpha_1 = \alpha_2^3 / 27$$

Bifurkationsdiagramm.







**Hag** Was ist eine Universal-Entfaltung von  $x^3 + dx$ ?

die subkritische Pitchfork-Bifurkation.